

## استفاده از سیگنال تحلیلی در برآورد نسبت مغناطش به چگالی توده‌های زمین‌شناسی

کمال علمدار<sup>۱\*</sup>، عبدالحمید انصاری<sup>۲</sup> و ابوالقاسم کامکار روحانی<sup>۳</sup>

<sup>۱</sup> دانشجوی دکتری اکتشاف معدن، دانشکده مهندسی معدن، نفت و ژئوفیزیک دانشگاه صنعتی شهرورد، ایران

<sup>۲</sup> دانشیار ژئوفیزیک اکتشافی، دانشکده مهندسی معدن و متالورژی دانشگاه یزد، ایران

<sup>۳</sup> دانشیار ژئوفیزیک اکتشافی، دانشکده مهندسی معدن، نفت و ژئوفیزیک دانشگاه صنعتی شهرورد، ایران

(دریافت: ۹۰/۷/۱۹، پذیرش نهایی: ۸۹/۲/۱۳)

### چکیده

نظریه پواسون منجر به ایجاد رابطه‌ای ساده بین پتانسیل گرانی و مغناطیسی می‌شود که نتیجه آن امکان تبدیل هم‌زمان بی‌هنجاری‌های مغناطیسی و گرانی به یکدیگر است. بر طبق این رابطه پتانسیل مغناطیسی با گرادیان پتانسیل گرانی در امتداد مغناطش توده متناسب است. یکی از ضرایب تابع فوق نسبت مغناطش به چگالی توده (MDR) است که می‌توان آن را به این روش برآورد کرد. در این نوشتار با ترکیب رابطه پواسون با مفهوم سیگنال تحلیلی توسعه یافته به برآورد MDR پرداخته شده است. این روش روی داده‌های گرانی و مغناطیسی مصنوعی مدل دو و سه‌بعدی به طور موفقیت‌آمیز به کار رفته است. همچنین روش پیش‌گفته روی داده‌های گرانی و مغناطیسی واقعی توده مولد بی‌هنجاری شماره ۳ سنگ‌آهن گل‌گهر به کار برده شده و مقدار MDR بین ۴ تا ۱۹/۸۷ بر حسب  $10 \times (mA.m^2.Kg^{-2})$  در نقاط گوناگون منطقه تعیین شده است که اطلاعات زمین‌شناسی موجود را تأیید می‌کند.

واژه‌های کلیدی: رابطه پواسون، گرادیان، پتانسیل مغناطیسی و گرانی، سیگنال تحلیلی توسعه یافته، MDR، گل‌گهر

## Using analytic signal in determination of the magnetization to density ratio (MDR) of the geological bodies

Alamdar, K.<sup>1</sup>, Ansari, A. H.<sup>2</sup> and Kamkare-Rouhani, A.<sup>3</sup>

<sup>1</sup> PhD student in mineral exploration, Mining, Petroleum and Geophysics Department, Shahrood University of Technology, Iran

<sup>2</sup> Associate Professor of the exploration geophysics, Mining and Metallurgy Engineering Department, Yazd University, Iran

<sup>3</sup> Associate Professor of the exploration geophysics, Mining, Petroleum and Geophysics Department, Shahrood University of Technology, Iran

(Received: 03 May 2010, Accepted: 11 Oct 2011)

### Abstract

Gravity and magnetic data are usually processed and interpreted separately, and fully integrated results basically are created in the mind of the interpreter. Data interpretation in such a manner requires an interpreter experienced both on topics concerning potential field theory and the geology of the study area. To simplify the joint interpretation of data, the automatic production of auxiliary interpreting products, in the form of maps or profiles, is useful to help a less experienced interpreter or when investigating regions with poorly known geology. Fortunately, a suitable theoretical background for the joint interpretation of gravity and magnetic anomalies is well established and can serve promptly in generating such products. Because of its mathematical expression, this theory commonly is referred to as the Poisson relation or the Poisson theorem, as in more recent

publications. In summary, the Poisson theorem (term adopted here) establishes a linear relationship between the gravity and magnetic potentials and, by extension, between the corresponding anomalies measured in practice or derived from them by applying suitable data processing. For the joint interpretation of potential field data, the Poisson theorem has been used mainly to determine the magnetization–density ratio (MDR) (Garland, 1951; Chandler et al., 1981; Chandler and Malek, 1991) and, less often, the magnetization direction of single dense and magnetic structures (Ross and Lavin, 1966; Cordell and Taylor, 1971).

In this study we propose to combine a 3-D analytic signal method and Poisson theorem to calculate the MDR value. The amplitude of the simple analytic signal is defined as the square root of the squared sum of the vertical and two horizontal derivatives of the magnetic field (Roest et al. 1992). The outlines of the geological boundaries can be determined by tracing the maximum amplitudes of the analytic signal. The analytic signal exhibits maximum amplitudes over magnetization contrasts. Hence, the advantage is that in addition to the geological boundaries indicated by the maximum amplitudes of analytic signals, we can determine the MDR without considering the datum levels.

The final equation for estimation of MDR is:

$$MDR = G \frac{|MAS_0|}{|GAS_1|},$$

Where  $|MAS_0|$  represents the amplitude of simple zeroth-order analytic signal of magnetic anomaly and  $|GAS_1|$  represents the amplitude of first-order analytic signal of gravity anomaly. In this equation G is gravitational constant.

On the basis of gravity and magnetic anomaly data, we have proposed a method by applying analytic signals to Poisson theorem to calculate the MDRs of geological structures. The advantage of using this method is that not only we can estimate the MDR distribution of the subsurface sources; we can also determine the geological boundary. The synthetic models and real data have shown that the proposed method is feasible. Also we applied the proposed method on real gravity and magnetic data from Gol-e-Gohar No.3 anomaly. Based on the estimated MDR values, the maximum of the MDR has located on southern part of study area which is in agreement with location of subsurface ore body. Furthermore, this method proves that there are two major rocks in the study area namely, Metamorphism and Igneous.

**Key words:** Poisson relationship, Gradient, Magnetic and gravity potentials, Enhanced analytic signal, MDR, Gol-Gohar

## ۱ مقدمه

می‌توان داده‌های گرانی و مغناطیسی را با هم تفسیر کرد. تنها شرط استفاده از رابطه پواسون این است که بی‌هنچاری‌های گرانی و مغناطیسی از یک توده یکسان ناشی شده باشند (کردل و تیلور، ۱۹۷۱؛ گارلن، ۱۹۵۱) و ضمناً توزیع مغناطش و چگالی درون منبع مولد بی‌هنچاری یکنواخت باشد (مندونکا، ۲۰۰۴؛ دو و همکاران، ۲۰۰۹؛ مندونکا و میگود، ۲۰۰۸). این رابطه

معمولًاً تفسیر داده‌های مغناطیسی و گرانی جدا و مستقل از هم صورت می‌گیرد. اما صادق‌بودن نظریه پتانسیل در مورد میدان مغناطیسی و گرانی منجر به تولید رابطه‌ای موسوم به رابطه پواسون می‌شود که با استفاده از آن می‌توان بی‌هنچاری‌های مغناطیسی و گرانی را به هم تبدیل کرد (گرانت و وست، ۱۹۶۵؛ چاندلر و مالک، ۱۹۹۱؛ چاندلر و همکاران، ۱۹۸۱). با استفاده از رابطه پواسون

میگود، ۲۰۰۸).

اگر به دو طرف رابطه (۱)، عملگر گرادیان سه بعدی  
 $\nabla = \frac{\partial}{\partial x} \hat{i} + \frac{\partial}{\partial y} \hat{j} + \frac{\partial}{\partial z} \hat{k}$   
 بردار میدان مغناطیسی  $\bar{T}_m$  را اعمال کنیم، آن‌گاه  
 شکل زیر تعیین خواهد شد:

$$\begin{aligned} \bar{T}_m &= \frac{\partial U_m}{\partial x} \hat{i} + \frac{\partial U_m}{\partial y} \hat{j} + \frac{\partial U_m}{\partial z} \hat{k} \\ &= \frac{1}{G \Delta \rho} \nabla \left( \frac{\partial U_g}{\partial m} \right), \end{aligned} \quad (۲)$$

با فرض اینکه توده دارای مغناطش قائم است  
 (درغیراین صورت داده‌های برداشت شده به قطب منتقل  
 می‌شوند) بردار میدان مغناطیسی در جهت قائم  $\bar{T}_z$  به  
 صورت زیر تعیین می‌شود (لورای، ۲۰۰۶):

$$\bar{T}_z = \frac{1}{G \Delta \rho} \nabla g_z, \quad (۳)$$

در اینجا  $\bar{T}_m = \hat{T}_z$  که در این حالت  $MDR$  از رابطه زیر  
 حاصل می‌شود:

$$MDR = G \frac{|\bar{T}_m|}{|\nabla g_z|}, \quad (۴)$$

هسو و همکاران (۱۹۹۶) و (۱۹۹۸b) رابطه سیگنال تحلیلی  
 توسعه یافته (مشتقات قائم مرتبه بالاتر سیگنال تحلیلی) را  
 به شکل زیر تعریف کردند:

$$\begin{aligned} AS_n(x, y) &= \frac{\partial^n}{\partial z^n} \left( \frac{\partial F}{\partial x} \right) \hat{x} + \frac{\partial^n}{\partial z^n} \left( \frac{\partial F}{\partial y} \right) \hat{y} + i \frac{\partial^n}{\partial z^n} \left( \frac{\partial F}{\partial z} \right) \hat{z}, \end{aligned} \quad (۵)$$

که در آن،  $F$  بی‌هنجری میدان پتانسیل (مغناطیسی یا  
 گرانی) و  $n$  مرتبه مشتق قائم است. اگر در رابطه بالا مقدار  
 $n$  صفر انتخاب شود همان سیگنال تحلیلی ساده به دست  
 می‌آید. اندازه سیگنال تحلیلی توسعه یافته (رابطه بالا) نیز  
 از رابطه زیر نتیجه می‌شود:

مستقل از شکل و موقعیت منبع است. بنابراین بدون نیاز به  
 اطلاع از هندسه منبع می‌توان میدان مغناطیسی را مستقیماً  
 از میدان گرانی و یا میدان گرانی را از روش میدان  
 مغناطیسی محاسبه کرد. علاوه بر کاربرد رابطه پواسون در  
 تبدیلات میدان پتانسیل مانند تبدیل شبکه گرانی، تبدیل به  
 قطب و تبدیل به استوا (هسو، ۲۰۰۲)، از این رابطه می‌توان  
 برای برآورد نسبت مغناطش به چگالی منابع بی‌هنجری  
 میدان پتانسیل استفاده کرد. در این نوشتار از ترکیب رابطه  
 پواسون و کمیت سیگنال تحلیلی برای برآورد نسبت  
 مغناطش به چگالی توده مولد مربوط به داده‌های مصنوعی  
 یک مدل منشور قائم و نیز داده‌های مغناطیسی سنجی واقعی  
 منطقه گل‌گهر سیرجان استفاده شده است.

## ۲ نظریه روش

برای یک نقطه مشاهده‌ای بیرون از منبع با هندسه دلخواه،  
 بر طبق رابطه پواسون، پتانسیل مغناطیسی  $U_m$  و پتانسیل  
 گرانی  $U_g$  طبق رابطه زیر به هم وابسته‌اند (چاندلر و  
 مالک، ۱۹۹۱؛ دو و همکاران، ۲۰۰۹؛ ویلسون، ۱۹۷۰):

$$U_m = \frac{1}{G \Delta \rho} \frac{\partial U_g}{\partial m}, \quad (۱)$$

که در آن،  $G$  ثابت جهانی گرانش،  $\Delta \rho$  اختلاف چگالی  
 توده با اطراف،  $M$  اختلاف شدت مغناطش توده با  
 اطراف و  $m$  امتداد مغناطش است. با استفاده از رابطه  
 پواسون می‌توان توزیع مکانی نسبت مغناطش به چگالی  
 (MDR) را درون توده برآورد کرد. با این حال مشکل اینجا  
 است که در برداشت‌های صحرایی، به جای پتانسیل  
 مغناطیسی و گرانی، معمولاً میدان‌های پتانسیل (مغناطیسی  
 و گرانی) برداشت می‌شود؛ حال آنکه رابطه پواسون بین  
 پتانسیل گرانی و مغناطیسی نوشته می‌شود (مندونکا و

کاربرد این روش روی مدل‌های مصنوعی آزمایش می‌شود. مثال اول از یک مدل دوبعدی تشکیل شده که در آن سه توده دایک در اعمق متفاوت قرار گرفته‌اند (شکل ۱-الف). ضخامت هر سه توده ۵۰۰ متر انتخاب شده است. شدت بُردار مغناطیس اطراف ۴۵۰۰ نانوتسلا و زاویه میل و انحراف آن به ترتیب ۵۵ و ۱۵ درجه منظور شده است. پارامترهای فیزیکی مورد استفاده در تولید مدل در جدول ۱ آمده است. توده‌ها فقط دارای مغناطیس القایی هستند و مؤلفه مغناطیس پذیری باقی‌مانده آنها صفر در نظر گرفته شده است. شکل ۱-ب منحنی پاسخ مغناطیسی توده‌های دایکی شکل را نشان می‌دهد. در این شکل سه بی‌هنگاری دوقطبی مربوط به این سه توده مشاهده می‌شود. شکل ۱-ج پاسخ گرانی مدل‌های پیش‌گفته را نشان می‌دهد. در شکل ۱-د منحنی تبدیل به قطب داده‌های مغناطیسی قسمت ب آمده است. در این شکل اثر دوقطبی بی‌هنگاری‌ها حذف شده و بیشینه مقدار بی‌هنگاری مغناطیسی روی توده قرار گرفته است. شکل‌های ۱-ه و ۱-و به ترتیب منحنی‌های سیگنال تحلیلی ساده داده‌های مغناطیس‌سنجدی ( $MAS_0$ ) و سیگنال تحلیلی مرتبه اول داده‌های گرانی‌سنجدی ( $GAS_1$ ) را نشان می‌دهند. در این دو شکل، بیشینه مقدار سیگنال تحلیلی، موقعیت توده‌های دایکی را نشان می‌دهد. درنهایت شکل ۱-ز منحنی برآورد عمق نسبت MDR مربوط به توده‌ها را نشان می‌دهد. جدول ۱ مقایسه بین مقادیر نظریه و برآورد شده مربوط به مثال اول را به دست می‌دهد.

جدول ۱. پارامترهای فیزیکی مورد استفاده در مدل مصنوعی مثال اول.

توده	عمق (متر)	ضخامت (متر)	اختلاف چگالی با اطراف (gr/cm <sup>3</sup> )	مغناطیش (A/m)	مقدار نظری MDR	مقدار برآورده MDR	مقدار برآورده می‌شود
A	۱۰۰۰	۵۰۰	۰/۴	۰/۰۴	۱۰	۹/۶	دایک
B	۲۰۰۰	۵۰۰	۰/۴	۰/۰۴	۱۰	۹/۶	دایک
C	۵۰۰۰	۵۰۰	۰/۶	۰/۰۵	۱۲	۱۳/۴	دایک

$$\begin{aligned} & |AS_n(x, y)| \\ &= \sqrt{\left(\frac{\partial^n}{\partial z^n}\left(\frac{\partial F}{\partial x}\right)^2 + \frac{\partial^n}{\partial z^n}\left(\frac{\partial F}{\partial y}\right)^2 + i \frac{\partial^n}{\partial z^n}\left(\frac{\partial F}{\partial z}\right)^2\right)}, \end{aligned} \quad (6)$$

اگر از دو طرف رابطه (۶) در امتداد  $z$  مشتق بگیریم (دو و همکاران، ۲۰۰۹):

$$MDR = G \frac{|\vec{T}_m|}{|\nabla \cdot g_z|} = G \frac{\frac{\partial}{\partial z} |\vec{T}_m|}{\frac{\partial}{\partial z} |\nabla \cdot g_z|} = G \frac{\left| \frac{\partial \vec{T}_m}{\partial z} \right|}{\left| \nabla \cdot \frac{\partial g_z}{\partial z} \right|}, \quad (7)$$

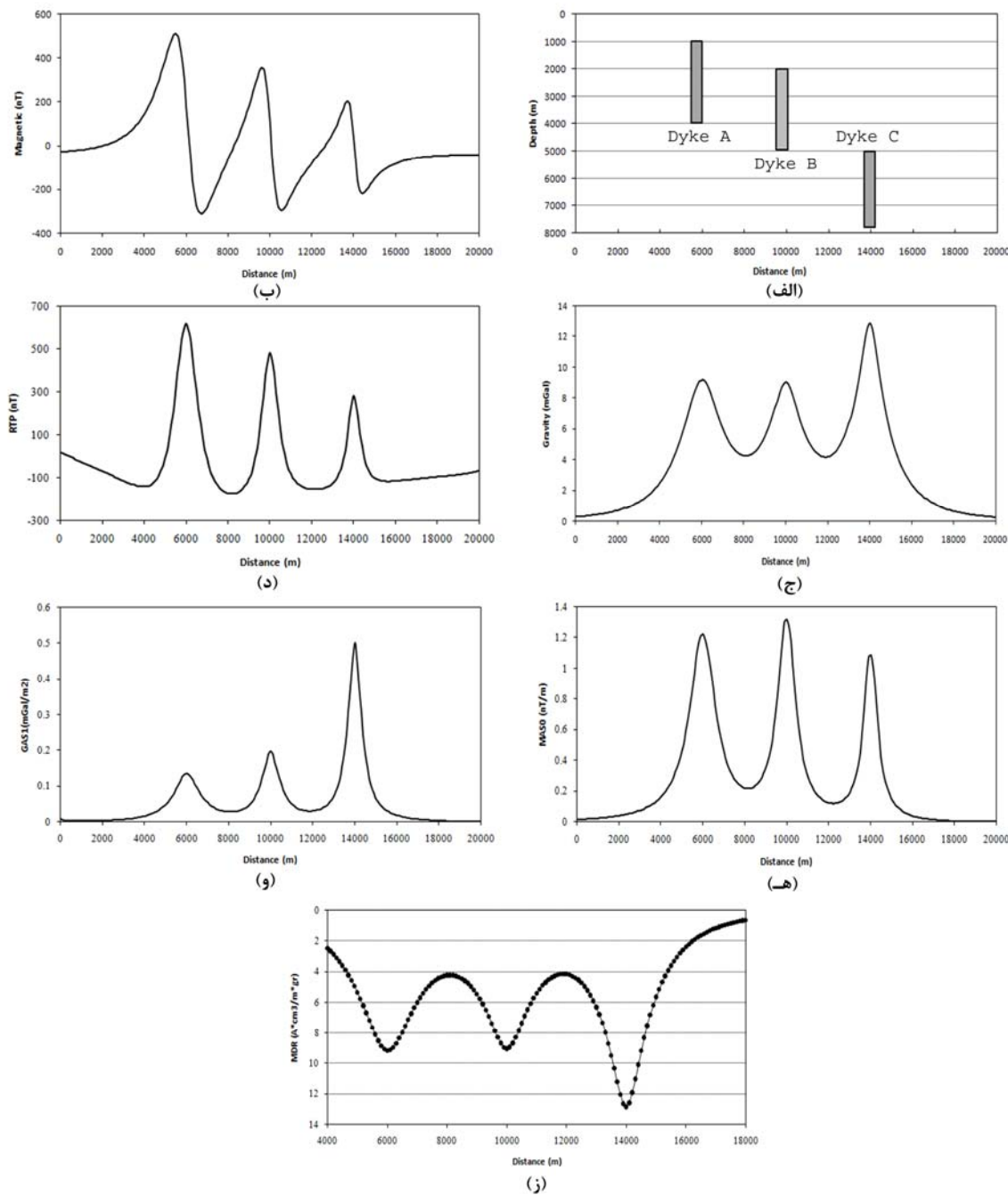
که در آن،

$$\begin{aligned} \left| \frac{\partial \vec{T}_m}{\partial z} \right| &= \sqrt{\left( \frac{\partial}{\partial x} \frac{\partial U_m}{\partial z} \right)^2 + \left( \frac{\partial}{\partial y} \frac{\partial U_m}{\partial z} \right)^2 + \left( \frac{\partial}{\partial z} \frac{\partial U_m}{\partial z} \right)^2} \\ &= MAS_0 \\ \left| \nabla \cdot \frac{\partial g_z}{\partial z} \right| &= \sqrt{\left( \frac{\partial}{\partial x} \frac{\partial g_z}{\partial z} \right)^2 + \left( \frac{\partial}{\partial y} \frac{\partial g_z}{\partial z} \right)^2 + \left( \frac{\partial}{\partial z} \frac{\partial g_z}{\partial z} \right)^2} \\ &= GAS_1 \end{aligned}$$

در روابط فوق  $MAS_0$  یعنی سیگنال تحلیلی ساده بی‌هنگاری مغناطیسی و  $GAS_1$  بیانگر مشتق قائم مرتبه اول سیگنال تحلیلی بی‌هنگاری گرانی است. در نتیجه رابطهنهایی برآورد MDR براساس ترکیب رابطه پواسون و سیگنال تحلیلی به صورت زیر است (دو و همکاران، ۲۰۰۹):

$$MDR = G \frac{|MAS_0|}{|GAS_1|}, \quad (8)$$

### ۳ کاربرد روی داده‌های مصنوعی به منظور بررسی کارایی روش پیش‌گفته، در این قسمت



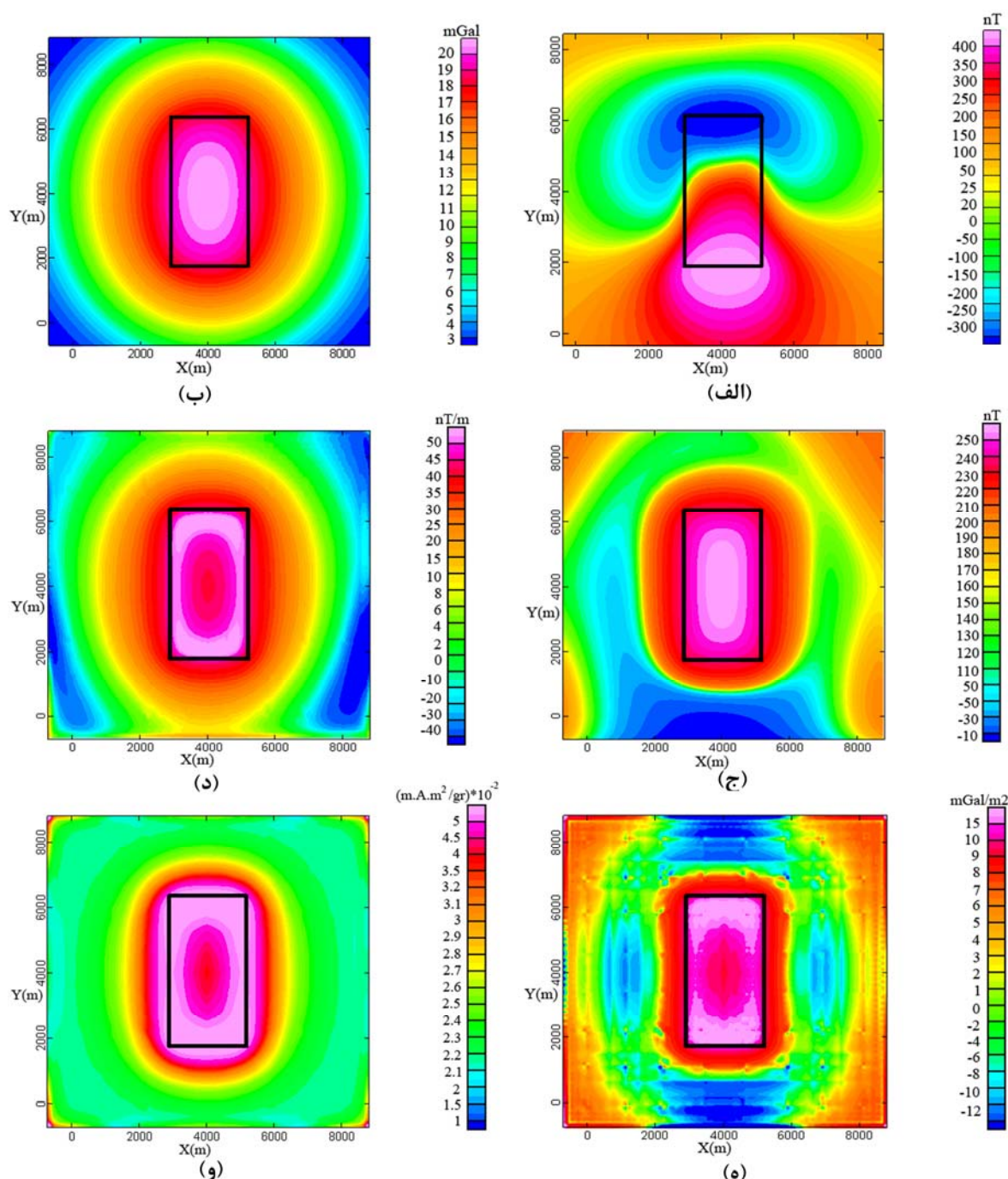
شکل ۱. کاربرد روش روی مدل مصنوعی دویعده متشکل از سه توده دایک.(الف) مقطع سه توده دایک در اعماق مختلف. پارامترهای فیزیکی مورد استفاده در جدول ۱ آمده است. (ب) پاسخ مغناطیسی سه توده به ازای زاویه میل و انحراف به ترتیب ۵۵ و ۱۵ درجه، (ج) پاسخ گرانی مدل مصنوعی، (د) منحنی تبدیل به قطب داده‌های مغناطیسی قسمت (ب)، در این شکل حالت دوقطبی بیهنجاری مغناطیسی قسمت (ب) از بین رفته است. (ه) منحنی سیگنال تحلیلی ساده داده‌های مغناطیسی سنجی ( $MAS_0$ ), (و) منحنی مشتق قائم مرتبه اول سیگنال تحلیلی داده‌های گرانی سنجی ( $GAS_1$ ) و (ز) منحنی برآورد  $MDR$  با استفاده از روش پیش‌گفته.

در مثال سوم مدل مصنوعی متشکل از دو توده منشوری را در نظر می‌گیریم. پارامترهای فیزیکی مدل در جدول ۲ آورده شده است. پاسخ مغناطیسی مدل به ازای بردار مغناطیسی با شدت  $50000$  نانوتلا و زاویه میل و انحراف به ترتیب برابر با  $50^\circ$  و  $5^\circ$  درجه تولید شده است (شکل ۳-الف). در شکل ۳-ب پاسخ گرانی مدل آمده است. شکل ۳-ج مربوط به نقشه تبدیل به قطب داده‌های مغناطیسی سنجی قسمت الف است. در این شکل ماهیت دوقطبی بی‌亨جاری مغناطیسی از بین رفته است. شکل ۳-د نقشه سیگنال تحلیلی ساده داده‌های مغناطیسی را نشان می‌دهد. در این شکل بیشینه مقدار سیگنال تحلیلی موقعیت منشورها را نشان می‌دهد. شکل ۳-ه نقشه مشتق قائم مرتبه اول سیگنال تحلیلی داده‌های گرانی را نشان می‌دهد. در این شکل مرازهای توده‌های منشوری با دقیقیت زیادی نسبت به اطراف برجسته شده است. شکل ۳-و مربوط به نقشه توزیع مقادیر MDR برآورد شده با استفاده از رابطه (۸) است. مقایسه بین مقادیر واقعی MDR و مقادیر برآورد شده آن در جدول ۲ گزارش شده است. مقدار برآورد شده نسبت MDR مربوط به منشور A،  $3/28$  (در مقابل مقدار واقعی  $3/5$ ) و برای منشور B،  $3/22$  (در مقابل مقدار واقعی  $3/5$ ) است.

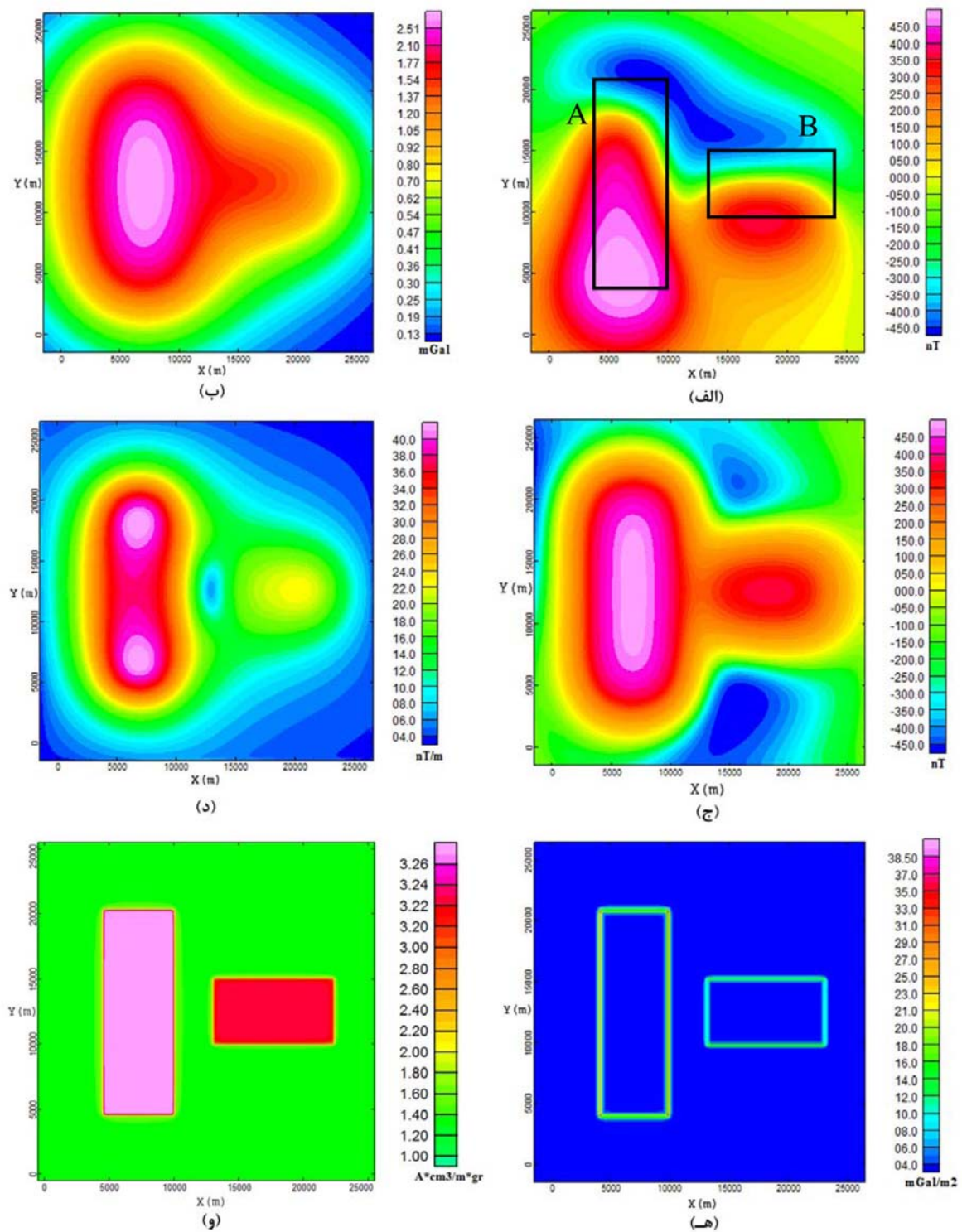
در مثال دوم کاربرد روش پیش‌گفته روی داده‌های مغناطیسی و گرانی مصنوعی مربوط به مدل منشور قائم با سطح مقطع مستطیل به ابعاد  $4000 \times 2000$  متر شرح داده می‌شود. مدل در عمق  $500$  متری قرار دارد و زاویه میل و انحراف بردار میدان مغناطیس زمین به ترتیب  $35^\circ$  و  $-5^\circ$  درجه در نظر گرفته شده است. اختلاف خودپذیری مغناطیسی مدل با اطراف برابر با  $0/02$  در دستگاه SI اختلاف چگالی آن با اطراف  $0/4$  گرم بر سانتی‌متر مکعب فرض شده است. شکل (۲-الف و ۲-ب) به ترتیب نقشه پاسخ مغناطیسی و گرانی مدل منشوری را نشان می‌دهد. در شکل (۲-ج) نقشه تبدیل به قطب داده‌های مغناطیسی قسمت الف آمده است. در این شکل ماهیت دوقطبی بی‌亨جاری حذف شده است. شکل (۲-د) مربوط به نقشه سیگنال تحلیلی ساده داده‌های تبدیل به قطب (کمیت  $MAS_0$  در رابطه (۸)) قسمت ج است. شکل (۲-ه) نقشه مشتق قائم مرتبه اول سیگنال تحلیلی داده‌های گرانی (کمیت  $GAS_1$  در رابطه (۸)) قسمت ب را نشان می‌دهد. درنهایت شکل (۲-و) نقشه تغییرات نسبت مغناطش به چگالی (MDR) مدل منشور قائم را نشان می‌دهد. همان‌طور که در شکل مشخص است، بیشینه مقدار MDR برابر  $0/005$  بر حسب  $(m.A.m^2.kg)^{-1} \times 10^{-2}$  است که دقیقاً روی توده قرار دارد.

جدول ۲. پارامترهای فیزیکی مورد استفاده در مدل مصنوعی مثال سوم.

MDR شده	مقدار برآورد شده	مقدار نظری MDR	اختلاف چگالی (gr/cm <sup>3</sup> )	مغناطش (A/m)	عرض (متر)	طول (متر)	عمق (متر)	توده
$3/28$	$3/5$	$0/5$	$1/75$	$5000$	$17500$	$2000$		منشور A
$3/22$	$3$	$1/5$	$2$	$5000$	$10000$	$4500$		منشور B



شکل ۲. کاربرد روش روی داده‌های مغناطیسی و گرانی مصنوعی مدل منشور قائم با سطح مقاطعه مستطیل. اختلاف خودپذیری مغناطیسی و چگالی مدل با اطراف به ترتیب برابر با  $0.02 \times 10^{-2}$  در دستگاه SI و  $0.04 \text{ g} \cdot \text{m}^2/\text{s}^2$  متر سانتی متر مکعب فرض شده است. (أ) نفشه هم‌مقدار مغناطیسی مدل، (ب) نفشه هم‌مقدار گرانی مدل، (ج) نفشه تبدیل به قطب داده‌های مغناطیسی، (د) نفشه سیگنال تحلیلی داده‌های تبدیل به قطب، (ه) نفشه مشتق قائم مرتبه اول سیگنال تحلیلی داده‌های گرانی و (و) نفشه MDR که توسط رابطه (۸) محاسبه شده است.



شکل ۳. کاربرد روش روی مدل مصنوعی شامل دو توده منشوری در اعمق متفاوت. پارامترهای فیزیکی مورد استفاده در تولید داده‌های مصنوعی مدل در جدول ۲ آمده است. (الف) نقشه پاسخ مغناطیسی مدل به ازای زاویه میل و انحراف به ترتیب برابر با ۴۵ و ۵ درجه، (ب) پاسخ گرانی دو توده منشوری، (ج) نقشه تبدیل به قطب داده‌های مغناطیسی قسمت (الف)، (د) نقشه سیگنال تحلیلی ساده داده‌های مغناطیسی قسمت (الف)، (ه) نقشه مشتق قائم مرتبه اول سیگنال تحلیلی داده‌های گرانی قسمت (ب) و (و) نقشه تغییرات نسبت MDR به دو توده منشوری با استفاده از روش عرضه شده در مقاله.

باقی‌مانده و القایی توده مولد بی‌亨جاري است و در تحقیقات دیرینه‌مغناطیس‌شناسی کاربرد فراوانی دارد. به علاوه در مدل‌سازی پیشرو و معکوس بی‌亨جاري‌های مغناطیسی با احتساب مغناطیس باقی‌مانده مربوط به توده، دانستن نسبت کوئیزبرگر سبب افزایش دقت خروجی خواهد شد. دستگاه اندازه‌گیری خودپذیری مغناطیسی سنگ‌ها (سائبیلیته متر یا کاپامتر) وسیله‌ای است که با ایجاد تماس فیزیکی بین حس‌گر آن و سطح سنگ، میزان ضربیت خودپذیری سنگ را تعیین می‌کند. در مواردی که هدف تعیین خودپذیری مغناطیسی سنگ‌های عمیق از روی مغزه‌های حفاری است و به علت اشکالات فنی حفاری (هرزروی گل حفاری) بازیابی مغزه کاهش می‌یابد و به اصطلاح مغزه‌ها کامل نیست، به علت نبود تماس فیزیکی مناسب بین نمونه و کاپامتر، امکان اندازه‌گیری خودپذیری مغناطیسی سنگ وجود ندارد. در این‌گونه موقع با اندازه‌گیری چگالی سنگ و از روی نسبت MDR می‌توان خودپذیری مغناطیسی سنگ را برآورد کرد.

**۵ کاربرد روی داده‌های مغناطیسی و گرانی بی‌亨جاري شماره ۳**  
**سنگ آهن گل گهر سیرجان**  
 منطقه سنگ آهن گل گهر در استان کرمان و در حدود ۵۵ کیلومتری جنوب غربی شهرستان سیرجان واقع شده است. توده شماره ۳ گل گهر در حکم بزرگ‌ترین توده سنگ آهن در بین مجموع شش توده، دارای ذخیره‌ای بالغ بر ۶۴۲ میلیون تن سنگ آهن است. ماده معدنی از نوع مگنتیت زیر پوشش قابل توجه آبرفت قرار دارد و هیچ رخمنون ماده معدنی یا سنگی در محدوده معدنی مشاهده نمی‌شود، بنابراین ناحیه موردنظر را می‌توان از نوع زمین‌های دشتی نسبتاً مسطح تلقی کرد. سنگ‌های در برگیرنده ماده معدنی کلاً از نوع دگرگونی با سن

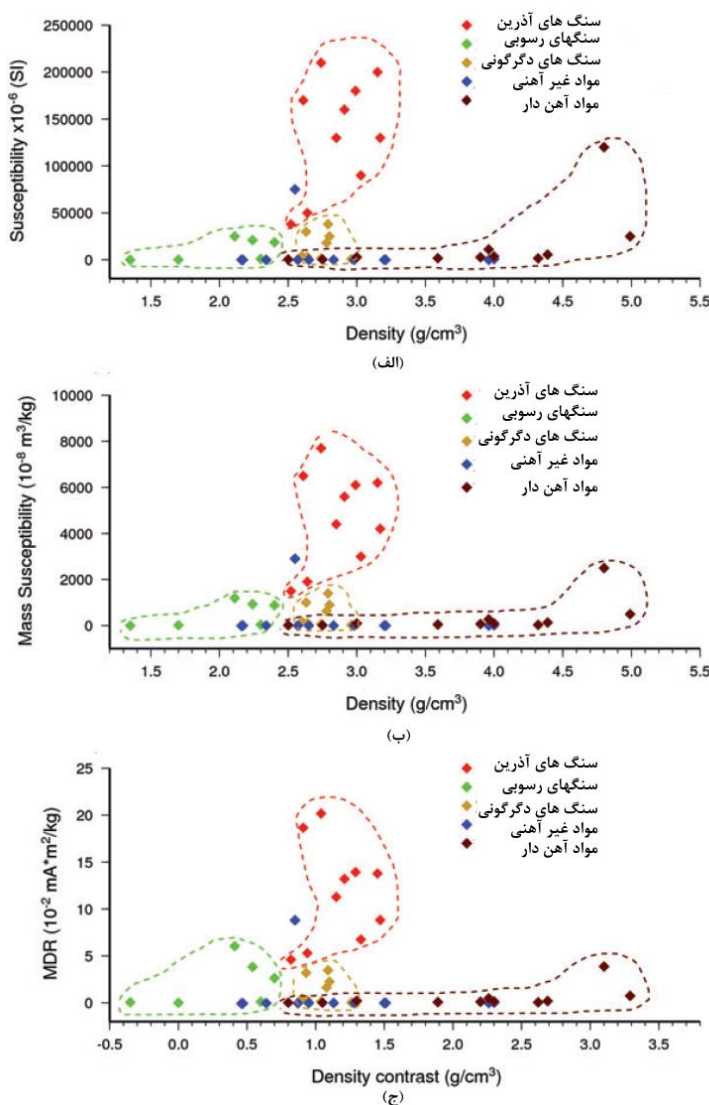
#### ۴ چگالی و مغناطش سنگ‌ها

به منظور درک بیشتر نسبت MDR در مورد داده‌های واقعی، براساس گزارش هانت و همکاران (۱۹۹۵) مقایسه‌ای بین مقادیر چگالی و خودپذیری مغناطیسی سنگ‌ها و کانی‌ها در جدول ۳ صورت گرفته است. با توجه به ترکیب متفاوت کانی‌ها می‌توان سنگ‌ها را به پنج گروه اصلی شامل سنگ‌های آذرین، سنگ‌های رسوی، سنگ‌های دگرگونی، مواد آهن‌دار و مواد بدون آهن تقسیم‌بندی کرد. همان‌طور که از جدول استنباط می‌شود و در شکل ۴ - الف نیز نشان داده شده است، بین مقادیر چگالی و خودپذیری مغناطیسی سنگ‌های متفاوت، رابطه مشخصی وجود ندارد. بهمین خاطر کمیت دیگری به نام خودپذیری مغناطیسی جرمی تعریف می‌شود که از تقسیم چگالی به خودپذیری مغناطیسی حاصل می‌آید (شکل ۴-ب). این کمیت می‌تواند ویژگی‌های انواع متفاوت سنگ‌ها را منعکس کند. اطلاع از این کمیت در تفسیر مغناطیس‌سنجی مفید واقع می‌شود. به علاوه توزیع مقادیر خودپذیری مغناطیسی جرمی می‌تواند انواع متفاوت سنگ را مشخص کند. شکل ۴-ب مقادیر مطلق خودپذیری مغناطیسی جرمی را نشان می‌دهد.

در مورد یک منطقه خاص که در آن فعالیت‌های ژئوفیزیکی صورت می‌گیرد، معمولاً اطلاعات مغناطیسی سنگ‌ها در دسترس است. لذا با تشکیل نسبت MDR می‌توان محتمل‌ترین سنگ‌های مولد بی‌亨جاري مغناطیسی را تعیین کرد. حتی اگر اطلاعات چگالی و مغناطیسی سنگ‌ها در اختیار نباشد، آگاهی از نسبت MDR به تنهایی، اطلاعاتی را در اختیار می‌گذارد که می‌توان با کمک آن، انواع متفاوت سنگ‌های مولد بی‌亨جاري را از یکدیگر جدا ساخت (شکل ۴-ج) از دیگر کاربردهای نسبت MDR می‌توان به برآورد نسبت کوئیزبرگر اشاره کرد. نسبت کوئیزبرگر عبارت از نسبت بین مغناطش

قابل توجه روی آن را پوشانده است. فرسایش مذبور در برخی جاهای بخش های بالای ماده معدنی را نیز از بین برده است. از دیدگاه کانی شناسی و نحوه قرار گیری در داخل توده ماده معدنی، سه نوع سنگ معدن متفاوت شناسایی شده است. این سه نوع ماده معدنی به نامهای منیتیت بالایی، اکسید و منیتیت پایینی نامیده می شوند.

احتمالی اردویسی اند. این سنگ‌ها شامل کوارتزیت، کلریت شیست، کوارتز مسکویت شیست، گیس، آمفیبولیت و اسکارن هستند. کمر بالای ماده معدنی که فقط در بخش شرقی توده معدنی وجود دارد شامل کوارتز مسکویت شیست با همبَری نسبتاً تیز و ناگهانی است و در بقیه نواحی در اثر فرسایش، در کل از بین رفته و مستقیماً رسوبات آبرفتی دوره کواترنر با ضخامت متغیر و



شکل ۴. مقایسه بین مقادیر چگالی و مغناطیس‌پذیری سنگ‌های متفاوت، (الف) نمودار توزیع چگالی در مقابل خودپذیری مغناطیسی گروههای اصلی سنگ، (ب) نمودار توزیع چگالی در مقابل خودپذیری مغناطیسی جرمی و (ج) نمودار توزیع مقادیر MDR سنگ‌های متفاوت تشکیل دهنده پوسته زمین (دو و همکاران، ۲۰۰۹).

جدول ۳. مقایسه مقادیر چگالی و خودپذیری مغناطیسی سنگ‌ها و کانی‌های متفاوت (هانت و همکاران، ۱۹۹۵).

نوع سنگ	چگالی (g/cm <sup>3</sup> ) $\rho$	خودپذیری مغناطیسی $\kappa / \rho$ (10 <sup>-8</sup> m <sup>3</sup> kg <sup>-1</sup> )	خودپذیری مغناطیسی $\kappa$ (10 <sup>-6</sup> SI)	خودپذیری مغناطیسی جرمی
الف) سنگ‌های آذرین				
ریولیت	۲/۰۲	۲۵۰-۳۸۰۰۰	۱۰-۱۰۰۰	
آنژزیت	۲/۶۱	۱۷۰۰۰	۷۰۰۰	
گرانیت	۲/۶۴	۰-۵۰۰۰۰	۰-۱۹۰۰	
پورفری	۲/۷۴	۲۵۰-۲۱۰۰۰	۹/۲-۷۷۰۰	
دیبوریت	۲/۸۵	۶۳۰-۱۳۰۰۰	۲۲-۴۴۰۰	
دیاباز	۲/۹۱	۱۰۰۰-۱۶۰۰۰	۳۵-۵۶۰۰	
بازالت	۲/۹۹	۲۵۰-۱۸۰۰۰	۸/۵-۶۱۰۰	
گابرو	۳/۰۳	۱۰۰۰-۹۰۰۰۰	۲۶-۳۰۰۰	
پریدوئیت	۳/۱۵	۹۶۰۰۰-۲۰۰۰۰۰	۳۰۰۰-۶۲۰۰	
پیروکسینیت	۳/۱۷	۱۳۰۰۰	۴۲۰۰	
سنگ‌های آذرآواری	۲/۷۹	۲۷۰۰۰-۲۷۰۰۰۰	۱۰۰-۱۰۰۰	
سنگ‌های آذرین اسیدی	۲/۶۱	۳۸-۸۲۰۰۰	۱/۴-۳۱۰۰	
سنگ‌های آذرین بازی	۲/۷۹	۵۰۰-۱۲۰۰۰۰	۲۰-۴۴۰۰	
ب) سنگ‌های رسوبی				
رس	۱/۷۰	۱۷۰-۲۵۰	۱۰-۱۵	
زغال	۱/۳۵	۲۵	۱/۹	
شیل	۲/۱۰	۶۳-۱۸۶۰۰	۳-۸۸۶	
سنگ آهک	۲/۱۱	۲-۲۵۰۰۰	۰/۱-۱۲۰۰	
رسوب قرمز	۲/۲۴	۱۰-۱۰۰	۰/۵-۵	
ماسنهسنگ	۲/۲۴	۰-۲۰۹۰۰	۰-۹۳۱	
دولویت	۲/۳۰	-۱۰ تا ۹۴۰	-۱ تا ۴۱	
متوسط سنگ‌های رسوبی	۲/۱۹	۰-۵۰۰۰۰	۰-۲۰۰۰	
ج) سنگ‌های دگرگونی				
کوارتزیت	۲/۶۰	۴۴۰۰	۱۷۰	
گرانولیت	۲/۶۳	۳۰۰۰-۳۰۰۰۰	۱۰۰-۱۰۰۰	
شیست	۲/۶۴	۲۶-۳۰۰۰	۱-۱۱۰	
فیلیت	۲/۷۴	۱۶۰۰	۶۰	
سرپاتین	۲/۷۸	۳۱۰۰-۱۸۰۰۰	۱۱۰-۶۳۰	
اسلیت	۲/۷۹	۰-۳۸۰۰۰	۰-۱۴۰۰	
گایاس	۲/۸۰	۰-۲۵۰۰۰	۰-۹۰۰	
آمفیولیت	۲/۹۶	۷۵۰	۲۵	
متوسط سنگ‌های دگرگونی	۲/۷۶	۰-۷۳۰۰۰	۰-۲۶۰۰	

ادامه جدول ۳. مقایسه مقادیر چگالی و خودپذیری مغناطیسی سنگ‌ها و کانی‌های متفاوت (هانت و همکاران، ۱۹۹۵).

نوع سنگ	چگالی (g/cm <sup>3</sup> ) $\rho$	خودپذیری مغناطیسی $\kappa / \rho$ (10 <sup>-8</sup> m <sup>3</sup> kg <sup>-1</sup> )	خودپذیری مغناطیسی جرمی $\kappa$ (10 <sup>-6</sup> SI)
د) مواد غیر آهنی			
پیخ	۰/۹۲	-۹	-۱
گرافیت	۲/۱۶	-۸۰ - تا -۲۰۰	-۳/۷ - ۹/۳ - تا
هالیت	۲/۱۷	-۱۰ - تا -۱۶	-۰/۴۸ - ۰/۷۵ - تا
ژپس	۲/۳۴	-۱۳ - تا -۲۹	-۰/۵ - ۱/۳ - تا
سرپانتینیت	۲/۵۵	۳۱۰۰ - ۷۵۰۰	۱۲۰ - ۲۹۰۰
ارتوكلاز	۲/۵۷	-۱۳ - تا -۱۷	-۰/۴۹ - ۰/۶۷ - تا
کوارتز	۲/۶۵	-۱۳ - تا -۱۷	-۰/۵ - ۰/۶ - تا
کلسیت	۲/۸۳	-۷/۵ - تا -۳۹	-۰/۳ - ۱/۴ - تا
انهیدریت	۲/۹۸	-۱۴ - تا -۶۰	-۰/۵ - ۲ - تا
فورستریت	۳/۲۰	-۱۲	-۰/۳۹
مگنتیت	۳/۲۱	-۱۵	-۰/۴۸
اسفالریت	۴	-۳۱ - تا -۷۵۰	-۰/۷۷ - تا -۱۹
ه) مواد آهن دار			
مونتموریونیت	۲/۵۰	۳۳۰-۳۵۰	۱۳-۱۴
ایلیت	۲/۷۵	۴۱۰	۱۵
بیوتیت	۳	۱۵۰۰-۲۹۰۰	۵۲-۹۸
ارتوبیروکسن	۳/۵۹	۱۵۰۰-۱۸۰۰	۴۳-۵۰
گارنت	۳/۹۰	۲۷۰۰	۶۹
سیدریت	۳/۹۶	۱۳۰۰-۱۱۰۰	۳۲-۲۷۰
ارتوفروسویلیت	۴	۳۷۰۰	۹۲
اولوین	۴/۳۲	۱۶۰۰	۳۶
فایالیت	۴/۳۹	۰۰۰۰	۱۳۰
کرومیت	۴/۸۰	۳۰۰۰-۱۲۰۰۰	۶۳-۲۵۰۰
ژاکوویسیت	۴/۹۹	۲۵۰۰۰	۵۰۰
فرانکلینیت	۵/۲۱	۴۰۰۰۰	۸۷۰۰

در آزمایش‌های جدایش مغناطیسی به قسمت باطله منتقل می‌شود.

ب- کانه اکسیده: در اثر هوازدگی این سنگ تشکیل و روی منیتیت پایینی را پوشانده است درصد هماتیت

الف- منیتیت پایینی: این سنگ در قسمت زیرین توده معدنی قرار دارد و از ۱۲ درصد هماتیت و گوتیت، با عیار گوگرد بیش از ۲/۲ درصد تشکیل شده است. گوگرد در این زون زیاد و پراکنده و اغلب به شکل پیریت است که

نیز از ۰/۲ درصد کمتر است. در مناطق محدودی این سنگ در بالای توده معدنی قرار دارد این سنگ تا اندازه‌ای اکسید شده اما به شدت مغناطیسی است (تفی زاده، ۱۳۸۴).

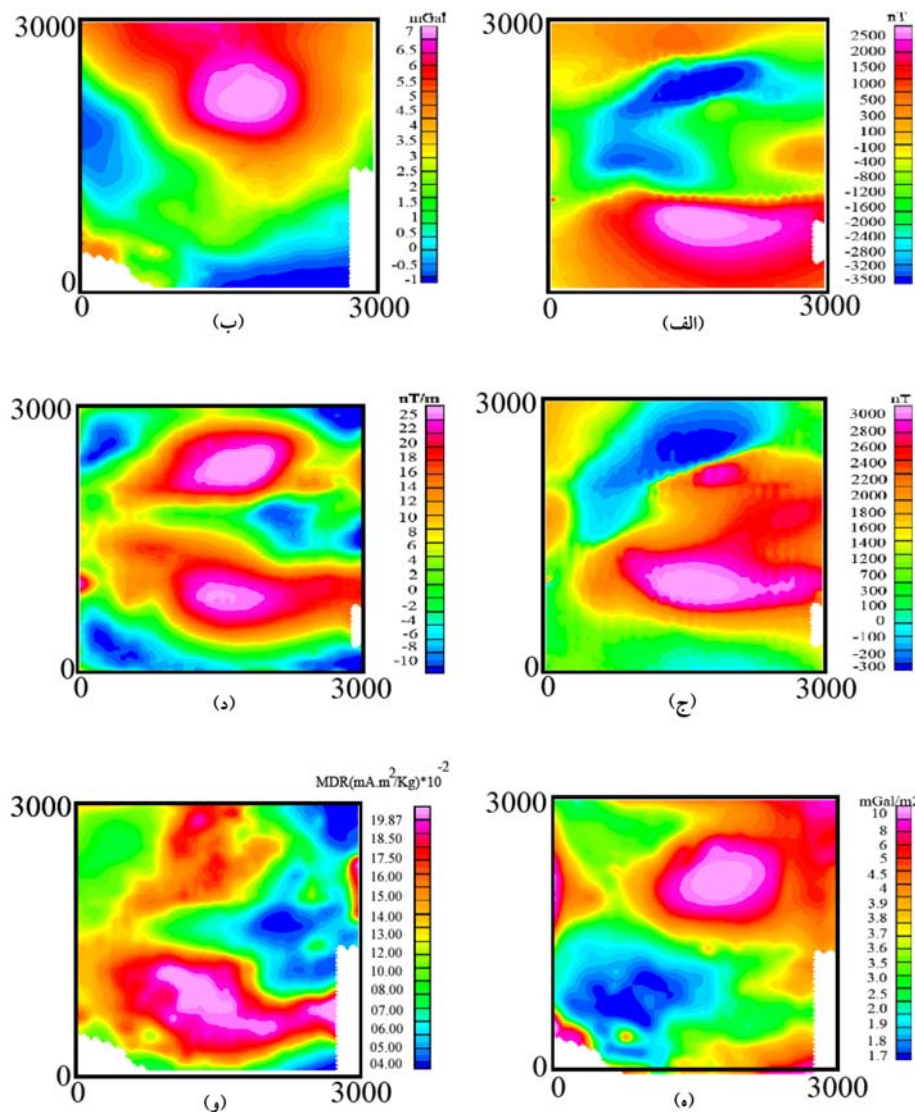
در جدول ۴ مقادیر چگالی و ضریب خودپذیری مغناطیسی مربوط به نمونه‌های مغزه‌های حفاری گمانه شماره ۱ به مختصات  $X = 1500\text{m}$  و  $Y = 1000\text{m}$  آمده است. مواردی از جدول ۴ که با هاشور مشخص شده است نواحی برخورد به لایه آهن دار را مشخص می‌کند.

و گوتیت در مجموع بیش از ۱۲ درصد بوده و مقدار آهن مغناطیسی آن کم است. این لایه در اثنای بالا آمدگی لایه آهن در معرض هوازدگی قرار گرفته است. پیریت و گوگرد این سنگ معدنی در اثنای مرحله اکسیداسیون به طور کامل خارج شده و توسط لیمونیت جایگزین شده اند.

ج- منیتیت بالایی: این سنگ در بالای قسمت اکسید شده قرار دارد ولی تقریباً اکسید نشده است. مقدار هماتیت و گوتیت در مجموع کمتر از ۱۲ درصد و گوگرد

جدول ۴. اطلاعات گرانی و مغناطیسی حاصل از نمونه‌های مغزه چال شماره ۱ مربوط به منطقه مورد بررسی.

Hole ID	Sample ID	Lithology	Depth (m)		Susceptibility ( $10^{-6}$ SI)	Density (gr/cm <sup>3</sup> )
			From	To		
1	-	Alluviume	0	63.2	-	2.45
1	1226	Shist	63.20,	65.20,	93.25	2.57
1	1227	Shist	65.20,	67.20,	93	2.57
1	1228	Shist	67.20,	68.80,	93.05	2.57
1	1229	Shist	68.80,	71.00,	94.75	2.57
1	1230	Shist	71.00,	73.00,	100	2.57
1	1231	Quartzite	73.00,	75.00,	2300	2.5
1	1232	Quartzite+Muscovite shist	75.00,	77.00,	2301	2.5
1	1233	Quartzite	77.00,	79.00,	2279.5	2.56
1	1234	Quartzite+Shist	79.00,	81.00,	3000	2.6
1	1235	Quartzite	81.00,	83.00,	2900	2.544
1	1236	Andezite	83.00,	85.00,	15000	2.6
1	1237	Andezite	85.00,	87.00,	14607	2.6
1	1238	Basalt	87.00,	89.00,	23000	2.6
1	1239	Basalt+Gabbro	89.00,	91.00,	45000	2.6
1	1240	Basalt	91.00,	96.00,	40000	2.6
1	1241	Amphibulite	96.00,	98.00,	2000	3
1	1242	Amphibulite	98.00,	100.00,	2300	2.8



شکل ۴. کاربرد روش روی داده‌های مغناطیسی و گرانی توده بی‌هنجری شماره سه گل گهر سیرجان، (الف) نقشه هم‌مقدار مغناطیسی منطقه، (ب) نقشه هم‌مقدار گرانی منطقه، (ج) نقشه تبدیل به قطب داده‌های مغناطیسی، (د) نقشه سیگنال تحلیلی داده‌های تبدیل به قطب، (ه) نقشه مشتق قائم مرتبه اول سیگنال تحلیلی داده‌های گرانی و (و) نقشه MDR که از رابطه (۸) محاسبه شده است.

بوده است. شکل ۵ (الف و ب) به ترتیب نقشه هم‌مقدار مغناطیسی و گرانی توده مولد بی‌هنجری شماره ۳ گل گهر را نشان می‌دهد. برای برآورد MDR توده شماره ۳ گل گهر باید داده‌های مغناطیسی با فرض مغناطیش قائم تولید شوند که این کار با استفاده از روش تبدیل به قطب روی داده‌های مغناطیسی برداشت شده صورت گرفته و نتایج در شکل (۵-ج) آمده است. در مرحله بعد

در این نواحی باید مقدار MDR نسبت به دیگر نواحی بیشتر باشد. در این محدوده روی ۲۳ نیم‌رخ با فاصله ۱۰۰ متر تعداد ۱۸۴۰ ایستگاه گرانی با فاصله ۴۰ متر برداشت شده است. همچنین بررسی‌های مغناطیسی‌سننجی در محدوده بی‌هنجری شماره ۳، روی ۲۶ نیم‌رخ با فاصله ۷۹ متر صورت پذیرفته است که روی هر نیم‌رخ ۱۰۰ ایستگاه برداشت قرار دارد و فاصله بین ایستگاه‌ها ۴۰ متر

روی داده‌های مغناطیسی و گرانی مصنوعی مدل منشوری و همچنین داده‌های گرانی و مغناطیسی واقعی توده مولد بی‌هنگاری شماره ۳ گل گهر سیرجان به کار رفته است که محدوده تغییرات MDR در مورد آن بین ۴ تا  $10^{-2} \times 10^2 \text{ mA.m}^2 \text{ kg}$  به دست می‌آید و با مقایسه آنها با نموداهای استاندارد موجود، وجود دو نوع سنگ دگرگونی و آذرین در منطقه را تأیید می‌کند.

#### منابع

- تقی‌زاده، م.، ۱۳۸۴، تعبیر و تفسیر آنومالی‌های گرانی و مغناطیسی آنومالی شماره ۳ معدن سنگ‌آهن گل گهر سیرجان، پایان‌نامه کارشناسی اکتشاف معدن، دانشکده مهندسی معدن و متالورژی دانشگاه یزد.
- Chandler, V. W., and Malek, K. C., 1991, Moving-window Poisson analysis of gravity and magnetic data from the Penokean orogen, east-central Minnesota, *Geophysics*, **56**, 123-132.
- Chandler, V. W., Koski, J. S., Hinze, W. J. and Braille, L. W., 1981, Analysis of multisource gravity and magnetic anomaly data sets by moving-window application of Poisson theorem, *Geophysics*, **46**, 30-39.
- Cordell, L., and Taylor, P. T., 1971, Investigation of magnetization and density of a North American seamount using Poisson's theorem, *Geophysics*, **36**, 919-937.
- Doo, W. B., Hsu, S. K., Tsai, C. H., and Huang, Y. S., 2009, Using analytic signal to determine magnetization/density ratios of geological structures, *Geophys. J. Int.*, **179**, 112-124.
- Garland, G. D., 1951, Combined analysis of gravity and magnetic anomalies, *Geophysics*, **16**, 51-62.
- Grant, F. S., and West, G. F., 1965, Interpretation theory in applied geophysics, McGraw-Hill, New York, NY.
- Hsu, S. K., 2002, Imaging magnetic sources using Euler's equation, *Geophys. Prospect.*, **50**, 15-25.
- Hsu, S. K., Sibuet, J. C. and Shyu, C. T., 1996, High-resolution detection of geologic boundaries from potential-field anomalies: an enhanced analytic signal technique, *Geophysics*, **61**, 373-386.
- Hsu, S. K., Coppens, D. and Shyu, C. T., 1998b, Depth to magnetic source using the generalized analytic signal technique, *Geophysics*, **63**, 1947-1957.

کمیت‌های ورودی رابطه (۸) یعنی سیگنال تحلیلی داده‌های مغناطیسی و مشتق قائم مرتبه اول سیگنال تحلیلی داده‌های گرانی محاسبه و نقشه هم‌مقدار آنها رسم شده که به ترتیب در شکل‌های (۵-د) و (۵-ه) آمده است. درنهایت با استفاده از رابطه (۸) برآورده از MDR به دست آمد که نقشه آن در شکل (۵-و) آمده است. همان‌طور که ملاحظه می‌شود، مقدار MDR در مورد این توده بین ۴ تا  $10^{-2} \times 10^2 \text{ mA.m}^2 \text{ kg}$  (بر حسب) تغییر می‌کند که مقدار حداکثر در نیمه جنوبی محدوده تحت برداشت به دست آمده که منطبق بر محل قرارگیری توده سنگ‌آهن است. به علاوه، زیاد بودن مقدار MDR برآورده شده حاکی از این مطلب است که نواحی آهن‌دار از نوع آذرین است که با اطلاعات ناشی از گمانه‌های حفر شده (جدول ۴) مطابقت دارد. همچنین مقایسه مقادیر برآورده با نمودار شکل ۴-ج بیانگر ان مطلب است که مقادیر کم MDR منطبق بر سنگ‌های دگرگونی و مقادیر زیاد آن منطبق بر سنگ‌های آذرین است که بازهم اطلاعات جدول ۴ را تأیید می‌کند.

#### ۶ نتیجه‌گیری

در این نوشتار با استفاده از رابطه پواسون بین پتانسیل مغناطیسی و گرانی و همچنین نظریه سیگنال تحلیلی توسعه یافته، روشی برای برآوردن نسبت مغناطش به چگالی توده مولد بی‌هنگاری میدان پتانسیل عرضه شده است. برای استفاده از این روش باید به دو فرض اساسی توجه کرد. اولین فرض شرط استفاده از رابطه پواسون این است که داده‌های مغناطیسی و گرانی از توده واحدی باشند و در ضمن توزیع چگالی به مغناطش درون توده یکنواخت باشد. دومین فرض که یک فرض ساده‌کننده است مربوط به امتداد مغناطش توده تحت بررسی است که قائم فرض می‌شود و در غیراین صورت می‌توان از روش تبدیل به قطب برای تبدیل آن به  $90^\circ$  درجه استفاده کرد. این روش

- magnetic anomalies, Computer and Geosciences, **34**, 603-610.
- Roest, W. R., Verhoef, J., and Pilkington, M., 1992, Magnetic interpretation using the 3D analytic signal, *Geophysics*, **57**, 116-125.
- Ross, H. P., and Lavin, P. M., 1966, In situ determination of the remnant magnetic vector of two-dimensional tabular bodies, *Geophysics*, **31**, 949-962.
- Wilson, G. D. V., 1970, The use of the Poisson relationship for separating the anomalies due to neighboring bodies, and for recognizing inhomogeneities and structural deformation, *Bull. de Geofig. Teor. ed. Apl.*, **12**, 158-182.
- Hunt, C. P., Moskowitz, B. M. and Banerjee, S. K., 1995, Magnetic properties of rocks and minerals, in Rock Physics and Phase Relations, A Handbook of Physical Constants, Am. geophys. Union, Washington, DC., 189-204,
- Lowrie, W, 2006, Fundamentals of geophysics, Cambridge University Press, 381.
- Mendonca, C. A., 2004, Automatic determination of the magnetization to density ratio and magnetization inclination from the joint interpretation of 2D gravity and magnetic anomalies, *Geophysics*, **69**, 938-948.
- Mendonca, C. A., Meguid, M. M. A., 2008, Programs to compute magnetization to density ratio and the magnetization inclination from 3-D gravity and